

Magnetostatikk

[YF 27, 28]

(49)

Einstiens relativitetsteori nødvendiggjør magnetiske krefter!



$q \oplus$ i ro

i ro

q er i ro og "ser" en elektrisk nøytral men strømførende ledet

\Rightarrow Kraft på q : $F = 0$



q $\overset{\vec{F}}{\rightarrow}$
i beregelse

q er nå i beregelse og ser en negativt ladet ledet, fordi elektronene i ledeten (\ominus) har større relativ fart enn atomkjernene i ledeten (\oplus)

Einstein: Lysfarten i vakuums er c

i alle inertialsystem. Fører bl.a. til

lengdekontraksjon, dvs objekt i beregelse er kortere enn når det er i ro: $L = L_0 \cdot \sqrt{1 - u^2/c^2}$

$$\Rightarrow \text{Avstand mellom } \ominus : L_- = L_0 \cdot \sqrt{1 - u_-^2/c^2} ; u_- \approx v + v_d$$

$$-\text{--} \quad \text{--} \quad \oplus : L_+ = L_0 \cdot \sqrt{1 - u_+^2/c^2} ; u_+ = v < u_-$$

$\Rightarrow L_- < L_+$ \Rightarrow q i beregelse ser ledet med netto negativ ladning
 \Rightarrow q påvirkes av elektrisk kraft \vec{F}

Men vi er i ro relativt ledet, som for oss er nøytral, så vi mäter ingen elektrisk kraft på q . Vi mäter en magnetisk kraft \vec{F}_m , som kan uttrykkes via et magnetfelt \vec{B} . Strømmen i ledet, I , skaper magnetfeltet \vec{B} .

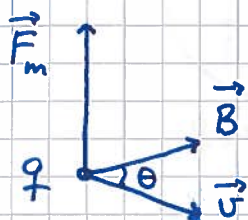
Magnetisk kraft [YF 27.2]

Fra før: Ladning(er) omgir seg med elektrisk felt \vec{E} .

$$\Rightarrow \text{El. kraft } \vec{F}_e = q \vec{E} \cdot \text{ på (en annen) ladning } q$$

Elektrisk strøm omgir seg med magnetfelt \vec{B}

$$\Rightarrow \text{Magn. kraft } \vec{F}_m = q \vec{v} \times \vec{B} \text{ på ladning } q \text{ i bevegelse med hastighet } \vec{v}$$



$$F_m = |\vec{F}_m| = q v B \sin \theta$$

$$\vec{F}_m \perp \vec{B} \text{ og } \vec{F}_m \perp \vec{v}; \text{ høyrehåndsregel!}$$

$$\text{Enhet (SI)}: [B] = \frac{N}{C \cdot m/s} = \frac{N}{A \cdot m} = T \text{ (tesla)}$$

$$\text{Evt: } 1G = 10^{-4} T = 1 \text{ gauss}$$

Eks: \vec{B} i Trondheim (pga strømmer inni jordkloden.)

$$B = |\vec{B}| \approx 52 \mu T; B_{\perp} \approx 50 \mu T, B_{||} \approx 13.61 \mu T$$

$$\vec{B}_{||} = B_N \hat{N} + B_\phi \hat{\phi}; B_N \approx 13.58 \mu T, B_\phi \approx 0.78 \mu T$$

(ngdc.noaa.gov / geomag-web)

(Sjekk f.eks. Sydney og Honolulu)

~~~~~

Med både el. felt  $\vec{E}$  og magnetfelt  $\vec{B}$  til stede:

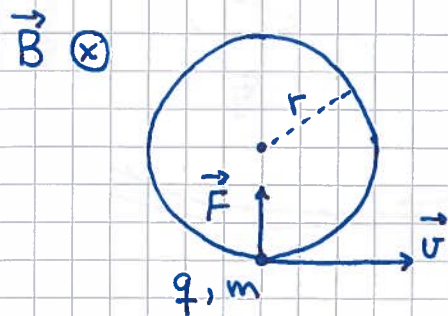
$$\vec{F} = \vec{F}_e + \vec{F}_m = q \vec{E} + q \vec{v} \times \vec{B}$$

Lorentzkraften

# Lading i uniformt $\vec{B}$ -felt [YF 27.4]

Notasjon:  $\otimes \vec{B}$  inn i planet (pil sett bakfra)  
 $\odot \vec{B}$  ut av planet (pil sett forfra)

Anta  $\vec{B}$  inn i planet og  $\vec{v} \perp \vec{B}$ , slik at  $F = qvB$ :



Med  $\vec{F} \perp \vec{v}$  til enhver tid:

- Tilført effekt:  $P = \vec{F} \cdot \vec{v} = 0$ , dvs magnetisk kraft  $\vec{F} = q\vec{v} \times \vec{B}$  kan aldri gjøre et arbeid!

- Da er  $K = \frac{1}{2}mv^2 = konstant$ , og vi må få uniform sirkelbevegelse
- Vet da at akselerasjonen er  $a = v^2/r$ , rettet inn mot sirkelens sentrum

Newton 2. lov (N2) gir da:

$$qvB = mv^2/r \Rightarrow r = \frac{mv}{qB}$$

Vinkelhastigheten (= vinkelfrekvensen):  $\omega = \frac{v}{r}$

Kalles i denne sammenhengen

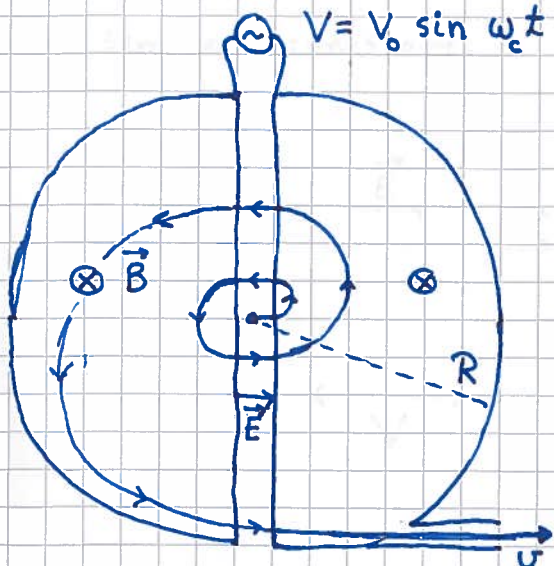
syklotronfrekvensen,

$$\boxed{\omega_c = qB/m}$$

Merk at  $\omega_c$ , og dermed perioden (omløpstida)  $T = 2\pi/\omega_c$ , blir uavhengig av farten  $v$  og kin. energi  $K$ , fordi  $v$  er prop. med sirkelradien  $r$ .

# Eks 1 : Partikkelakselerator, "cyclotron"

(E.O. Lawrence, 1934 ; NP 1939)



$V = V_0 \sin \omega_c t$  = vekselspenning som sørger for elektrisk felt  $\vec{E}(t)$  mellom de to halvsirkelformede hule elektrodene, med retning på  $\vec{E}$  slik at partikkelen med ladning  $q$  i hver passasje akcelerereres av kraften  $\vec{F} = q \vec{E}$ .  
 $\Rightarrow K$  øker  $\Rightarrow$  sirkelbanens  $r$  øker, inntil  $r \approx R$  = elektrodenes radius

Partikler (ladning  $q$ , masse  $m$ ) ut når

$$qvB = m \frac{v^2}{R} \Rightarrow v = \frac{qBR}{m} \Rightarrow K = \frac{1}{2}mv^2 = \frac{q^2 B^2 R^2}{2m}$$

Med f.eks.  $m = m_p = 1.67 \cdot 10^{-27}$  kg (protoner),  $B = \frac{1}{0.3} T$  og  
 $R = 0.3$  m (Lawrence, 1932) oppnås

$$v = \frac{1.6 \cdot 10^{-19} \cdot \frac{1}{0.3}}{1.67 \cdot 10^{-27}} \text{ m/s} = \underline{2.9 \cdot 10^7 \text{ m/s}}$$

$$K = \frac{1}{2} m_p v^2 = 6.9 \cdot 10^{-13} \text{ J} = 4.3 \cdot 10^6 \text{ eV} = \underline{4.3 \text{ MeV}}$$

$$f_c = \omega_c / 2\pi = qB / 2\pi m_p = \underline{15 \text{ MHz}}$$

(Når  $v$  nærmer seg  $c$ , lysfarten i vakuum, må man regne relativistisk. Da er fremdeles  $F = dp/dt$  (N2), men nå er bevegelsesmengden (impulsen) ikke lenger  $p = mv$ ,

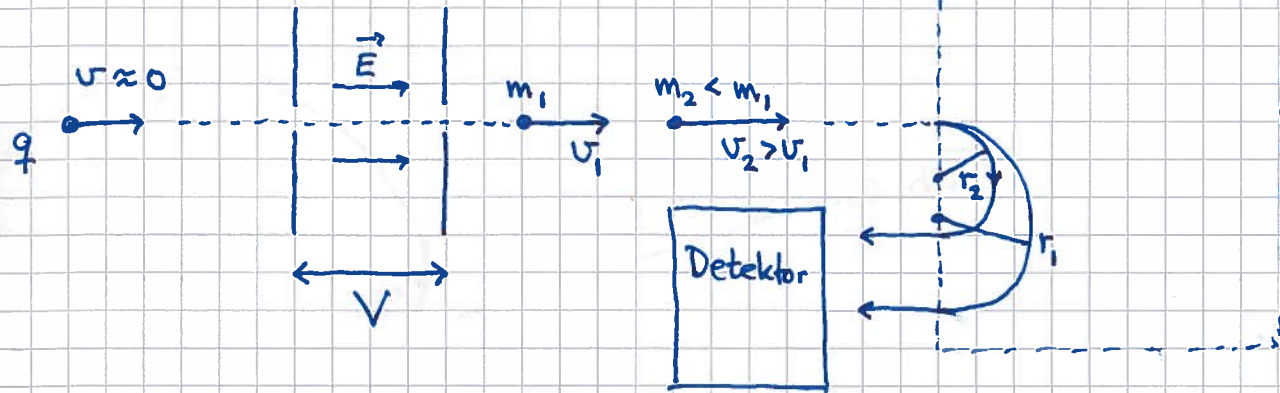
men derimot

$$p = \frac{mv}{\sqrt{1 - v^2/c^2}} . \quad \text{Mer om det i FY6019 !)$$

## Eks 2: Massespektrometer [YF 27.5]

(53)

Kan f.eks. brukes til å separere ioner med ulik masse, f.eks. isotoper av samme grunnstoff.



Ionene akselereres i  $\vec{E}$ -feltet mellom elektrodene med potensialforskjell (spennin)  $V$ . Energibevarelse gir:

$$qV = \frac{1}{2}mv^2 \Rightarrow v = \sqrt{\frac{2qV}{m}}$$

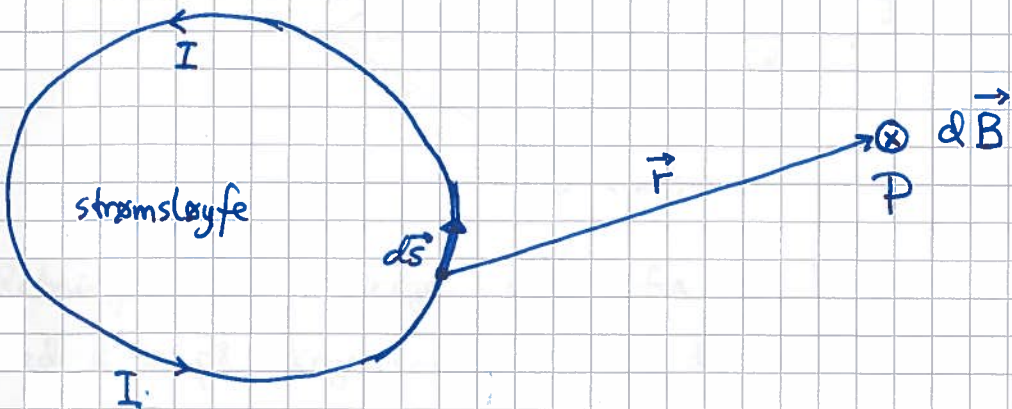
Ionene curbyges og følger sirkelbane i det uniforme  $\vec{B}$ -feltet:

$$r = mv/qB = \frac{m}{qB} \sqrt{\frac{2qV}{m}} = \frac{1}{B} \sqrt{\frac{2mV}{q}}$$

Med lik ladning  $q$  vil isotoper med ulik masse  $m$  følge baner med ulik radius  $r$  og treffe detektoren på ulike steder.

Biot - Savarts lov

[YF 28.2]

Coulombs lov gir  $\vec{E}$  fra ladning  $q$ Biot-Savarts lov gir  $\vec{B}$  fra strøm  $I$ 

$I$  = strømstyrke ; like stor i hele strømslayfa ("lederslayfa")

$d\vec{s}$  = liten bit av strømslayfa (inkl. lengde og retning)

P = en posisjon der vi ønsker å finne magnetfeltet,  $\vec{B}_P$

$\vec{r}$  = avstandsvektoren fra  $d\vec{s}$  til P

$d\vec{B}$  = bidraget til  $\vec{B}_P$  fra  $d\vec{s}$ , dvs pga strømmen I som går i lederbitten  $d\vec{s}$

Da er :

$$d\vec{B} = \frac{\mu_0}{4\pi} \frac{I d\vec{s} \times \hat{r}}{r^2}$$

Fellet i P fra hele strømslayfa, som i praksis alltid danner en lukket slayfe, bestemmes nå ved å summere bidragene fra alle små biter av slayfa. Med infinitesimale  $d\vec{s}$  betyr dette å integrere :

$$\boxed{\vec{B}_P = \oint d\vec{B} = \frac{\mu_0 I}{4\pi} \oint \frac{d\vec{s} \times \hat{r}}{r^2}}$$

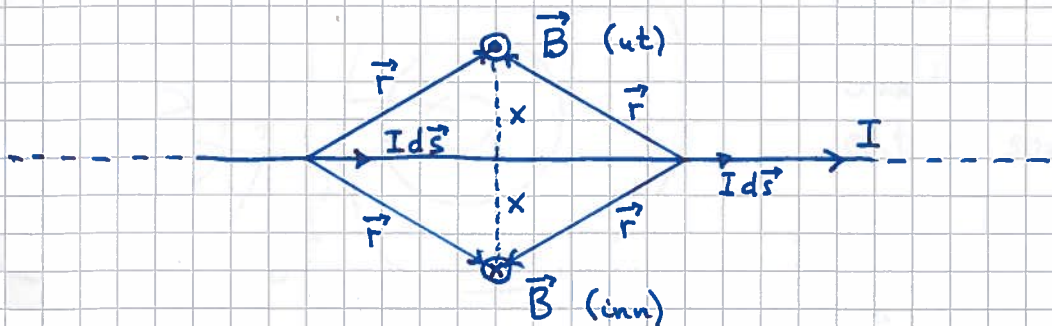
Biot-Savarts lov  
(1820)

$$\mu_0 = 4\pi \cdot 10^{-7} \text{ T} \cdot \text{m} / \text{A} = \text{vakuumpermeabiliteten}$$

$$c = 1/\sqrt{\epsilon_0 \mu_0} = \text{farten til E.M. bølger i vakuum} = 299792458 \text{ m/s}$$

Eksempler (der vi ikke tar alle matematiske detaljer) :

Eks 1:  $\vec{B}$  fra lang, rett strømførende ledet [YF 28.3]



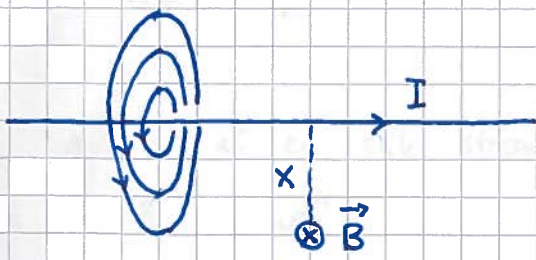
Retningen til bidraget  $d\vec{B}$  fra et "strømelement"  $Id\vec{s}$  finner vi ved å se på kryssproduktet  $Id\vec{s} \times \vec{r}$ .

Vi ser at over lederen, i planet, peker alle bidrag  $d\vec{B}$  ut av planet.

Og under lederen peker alle  $d\vec{B}$  inn i planet.

Av symmetigrunner er det da klart at  $\vec{B}$  overalt må ha retning tangentisk til sirkler med sentrum på lederen.

⇒ Feltlinjene for  $\vec{B}$  (som for  $\vec{E}$ : Linjer  $\parallel \vec{B}$ . Tetthet prop. med  $|B|$ ) må være sirkler konsentriske med lederen:



$x$  = avstand fra lederen

Biot-Savarts lov gir

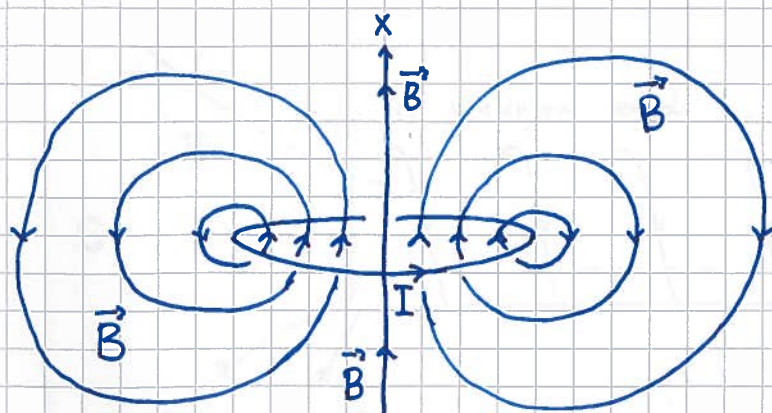
$$B(x) = \frac{\mu_0 I}{2\pi x} \quad (\text{lang, rett ledet})$$

- H.h. regel (nr 2?) gir sammenheng mellom retningen på  $I$  vs  $\vec{B}$ : Tommel langs  $I$ , de 4 andre krummer langs  $\vec{B}$ .

- Vi ser at feltlinjene for  $\vec{B}$  her er lukkede. Dette gjelder alltid. Uttrykker at vi ikke har "magnetiske ladninger", evt. magn. monopoler.

Eks 2:  $\vec{B}$  fra sirkulær strømsløyfe [YF 28.5]

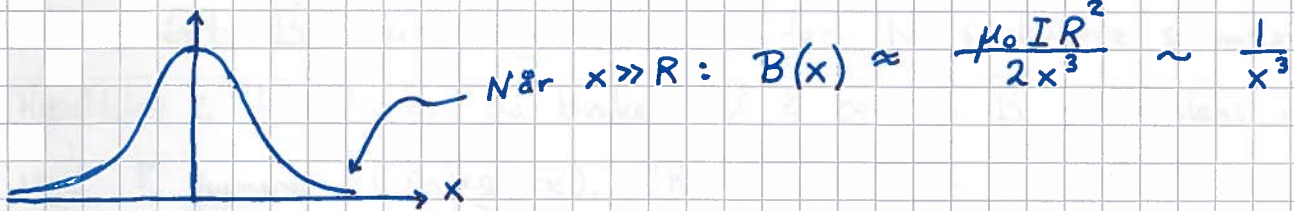
(56)



- Strømsløyfe i yz-planet, radius R.
- Svært nær lederen er  $\vec{B}$  omrent som for lang, rett ledet.
- På x-aksen er  $\vec{B} \parallel \hat{x}$  pga symmetri.

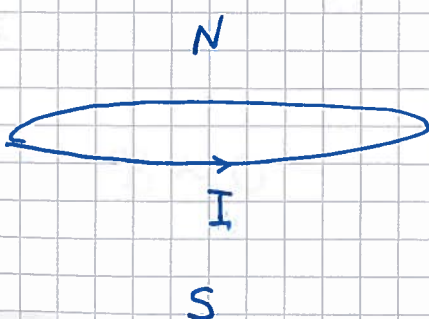
På x-aksen gir Biot-Savarts lov:

$$B(x) = \frac{\mu_0 I R^2}{2(x^2 + R^2)^{3/2}}$$



På l. samling (s. 9) fant vi at  $\vec{E}$ -feltet fra en elektrisk dipol avtar med 3. potens av avstanden. (for stor avstand x).

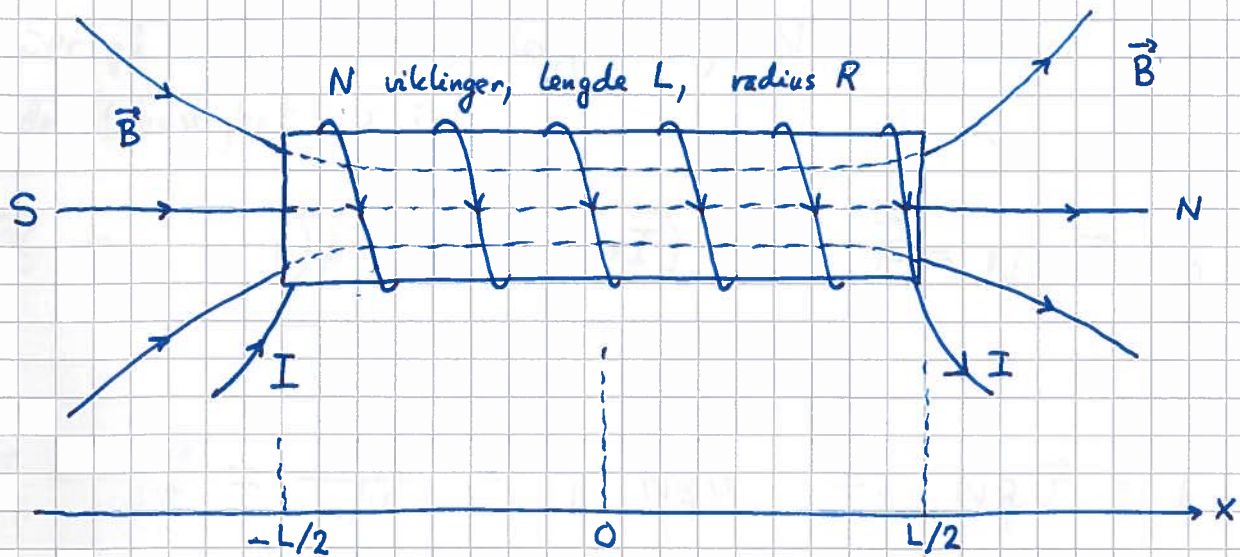
Vi skal se at en slik strømførende sløyfe er en magnetisk dipol, der de to "polene" kan kelles N (nord) og S (sør):



4 fingre langs I  $\Rightarrow$  tommel mot N

Eks 3:  $\vec{B}$  fra stromførende spole [YF 28.7]

(57)



Vi antar  $N$  tettliggende viklinger på lengden  $L$ , slik at antall viklinger pr lengdeenhet (= viklingstettheten) er  $n = N/L$ .

Totalt felt  $\vec{B}$  blir da (omtrent) som for  $N$  sirkulære strømslayfer.

Resultatet i Eks 2 kan da brukes til å beregne  $\vec{B}$  på spolens akse, ved å summere (integrere). Resultatet er:

$$B(x) = \frac{1}{2} \mu_0 n I \left\{ \frac{\frac{L}{2} - x}{\sqrt{(\frac{L}{2}-x)^2 + R^2}} + \frac{\frac{L}{2} + x}{\sqrt{(\frac{L}{2}+x)^2 + R^2}} \right\}$$

Anta at spolen er lang, dvs  $L/2 \gg R$ . Da er:

- Inni spolen, ikke for nær endene, dvs  $|x| \ll L/2$ :

$$\boxed{B \approx \mu_0 n I} \quad \leftarrow \text{Viktig resultat!}$$

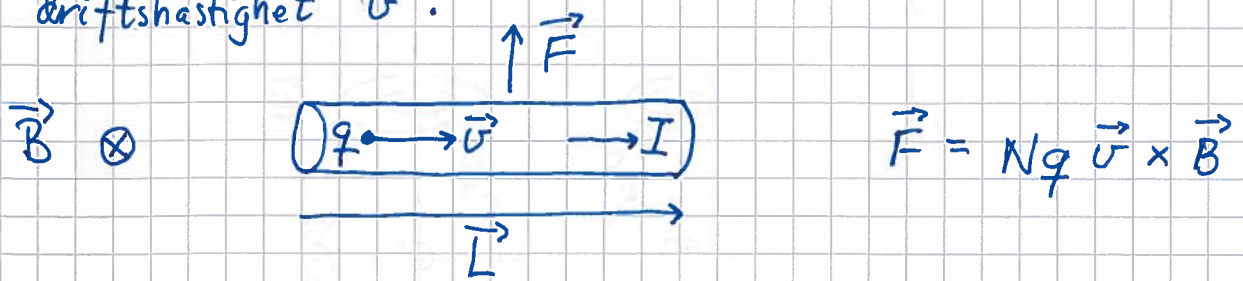
Viser seg å gjelde overalt inni spolen, ikke bare på aksen.

- Utenfor spolen:  $B \approx 0$

- Ved spolens ender,  $x = \pm \frac{L}{2}$ :  $B \approx \frac{1}{2} \mu_0 n I$

# Magnetisk kraft på strøm [YF 27.6]

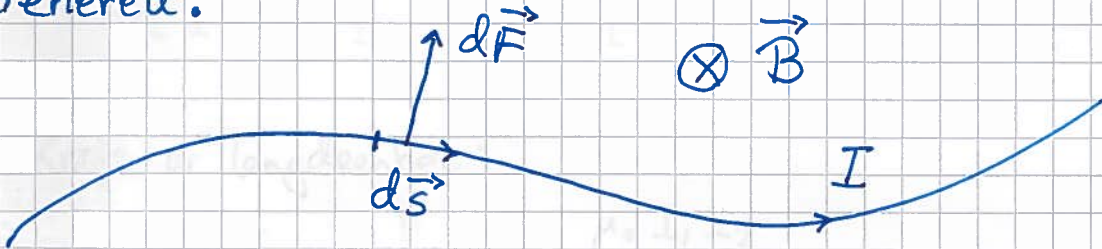
Ser på liten lederebit, lengde  $L$ ,  $N$  frie ledninger  $q$  med driftshastighet  $v$ :



$$I = \frac{\Delta Q}{\Delta t} = \frac{Nq}{L/v} = \frac{1}{L} Nqv \Rightarrow Nqv = IL$$

$$\Rightarrow \boxed{\vec{F} = IL \times \vec{B}}$$

Generelt:



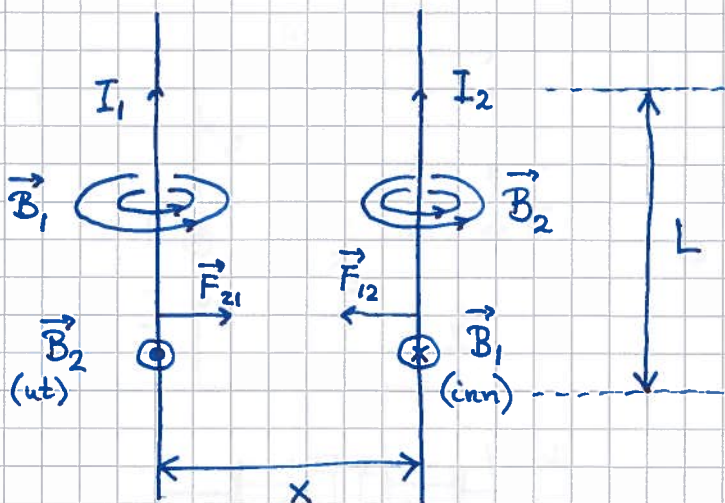
$$d\vec{F} = I d\vec{s} \times \vec{B}$$

↓

$$\vec{F} = \int d\vec{F} = I \int d\vec{s} \times \vec{B}$$

= total kraft på lederen

# Eks 1: Kraft mellom parallele strømmer [YF 28.4]



Innbyrdes kraft på lengden  $L$ :

$$F_{12} = F_{21} = F \quad (\text{Newtons 3. lov})$$

$$F = I_1 L B_2 \quad (= I_2 L B_1) = I_1 L \frac{\mu_0 I_2}{2\pi x}$$

Kraft pr lengdeenhet:

$$f = \frac{F}{L} = \frac{\mu_0 I_1 I_2}{2\pi x}$$

$I_1 \parallel I_2 \Rightarrow$  tiltrekkende

$I_1 \parallel -I_2 \Rightarrow$  frastøtende

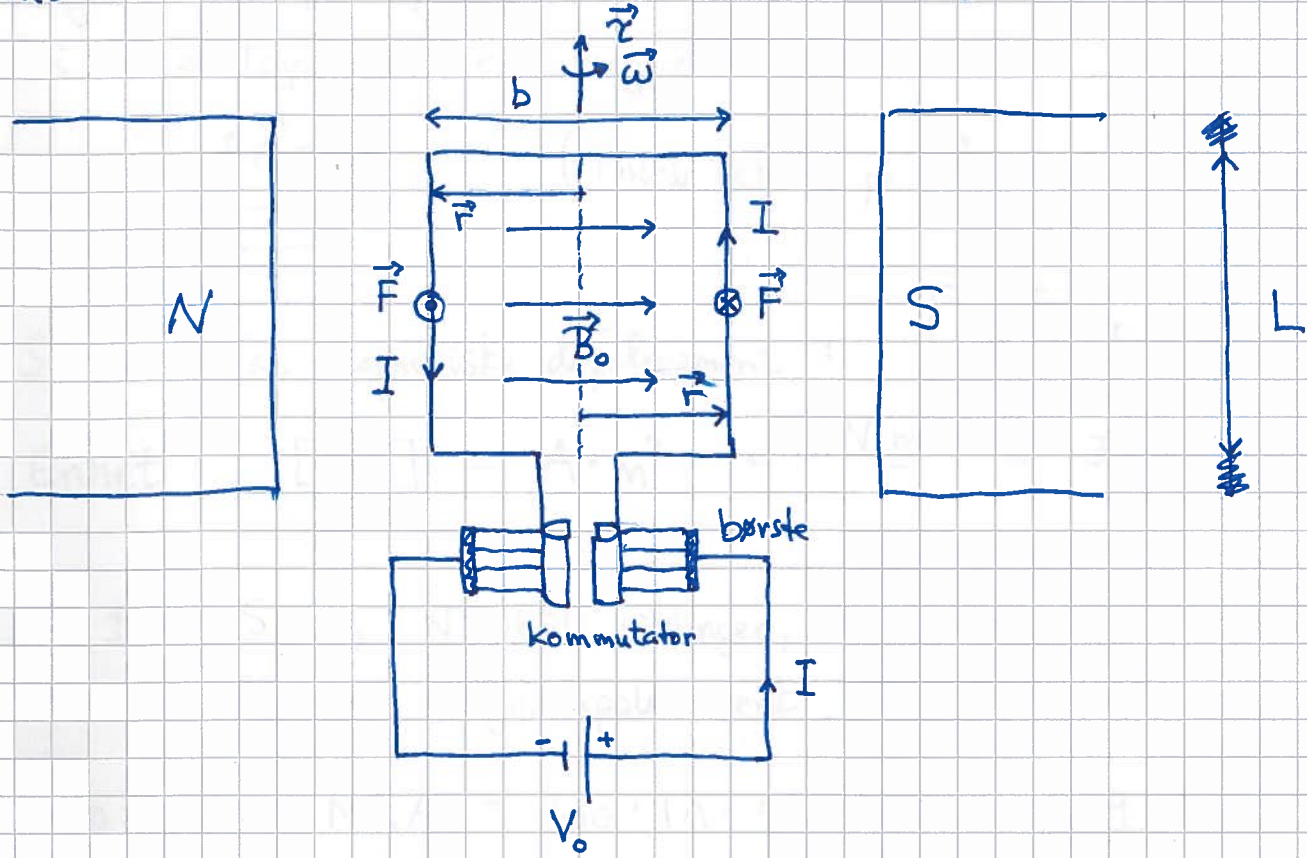
Med  $x = 1\text{m}$  og  $L = 1\text{m}$  og  $I_1 = I_2 = 1\text{A}$

blir  $F = 2 \cdot 10^{-7}\text{ N}$ . (Fremdeles grunnlaget for selve

definisjonen av  $1\text{A}$ . Kan bli erstattet av en annen def. i nærmeste framtid...)

## Eks 2: Likstrømsmotor [YF 27.8]

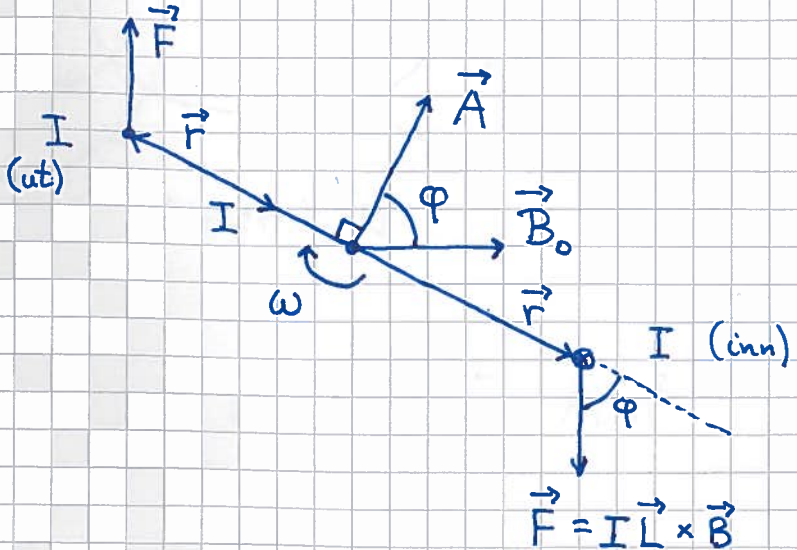
(60)



Kommutatoren roterer med ledersløyfa og sørger for strømretning som i figuren hele tiden, og dermed dreiemoment  $\vec{\tau}$  på ledersløyfa hele tiden.

$$\tau = |\vec{\tau}| = \left| \sum_i \vec{r}_i \times \vec{F}_i \right| = 2 \cdot \frac{b}{2} \cdot I L B_0 \cdot \sin\varphi$$

der  $\varphi$  = vinkel mellom  $\vec{r}$  og  $\vec{F}$ . Sett langs rotasjonsaksen:  
(dvs:  $\vec{\tau}$  inn i planet)



$$\vec{A} = \text{"arealvektoren"} = A \cdot \hat{n}$$

$$A = L \cdot b$$

$$\Downarrow$$

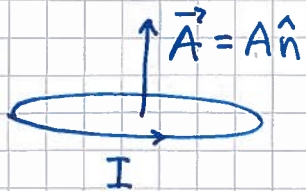
$$\vec{\tau} = I \vec{A} \times \vec{B}_0$$

$$\tau = I A B_0 \sin\varphi$$

Hvis spole med N viklinger:  $\tau = N I A B_0 \sin\varphi$ ;  $\vec{\tau} = N I \vec{A} \times \vec{B}_0$

## Magnetisk dipol og dipolmoment [YF 27.7]

Ei strømsløyfe er en magnetisk dipol.



(Positiv retning på  $\vec{A}$  med h.h. regel.)

Strømsløyfes magnetiske dipolmoment :

$$\vec{m} = \vec{I} \vec{A}$$

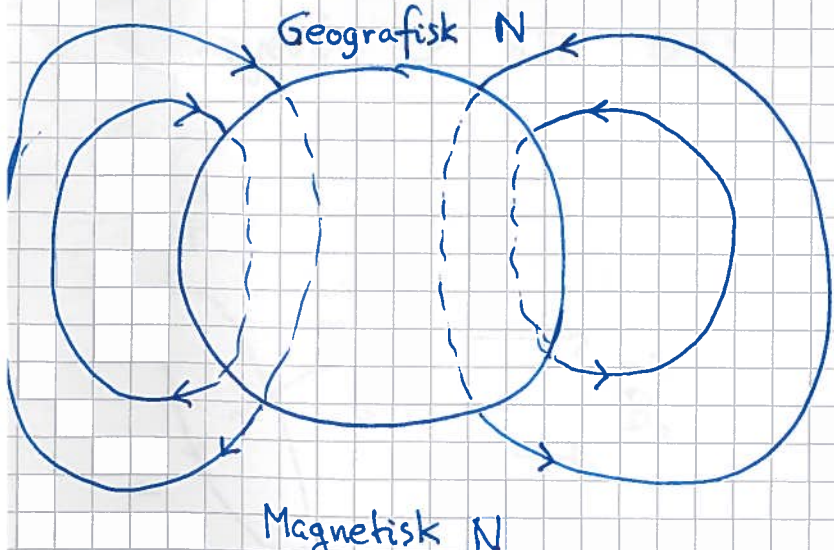
Enhet :  $[m] = A \cdot m^2 = \frac{N \cdot m}{T} = J/T$

Eks 1 : Spole,  $N=1600$  viklinger, tverrsnitt  $A = 4 \text{ cm}^2$ .

Hva er magn. dipolmoment når  $I = 1 \text{ A}$  ?

Løsn:  $m = NIA = 1600 \cdot 1 \text{ A} \cdot 4 \cdot 10^{-4} \text{ m}^2 = \underline{\underline{0.64 \text{ Am}^2}}$

Eks 2: Jordas magn. dipolmoment



$$m \approx 8 \cdot 10^{22} \text{ Am}^2$$

Magnetisk dipol i ytre magnetfelt  $\vec{B}_o$ :

For lederslayfa i DC-motoren fant vi at (s. 60)

$$\vec{\tau} = IA \times \vec{B}_o = \vec{m} \times \vec{B}_o,$$

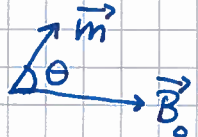
Som viser seg å holde generelt for magn. dipol i ytre felt  $\vec{B}_o$ .

Sammenlign med elektrisk dipol  $\vec{p}$  i ytre felt  $\vec{E}_o$  (s 30-31):

$$\vec{\tau} = \vec{p} \times \vec{E}_o ; \quad U = -\vec{p} \cdot \vec{E}_o$$

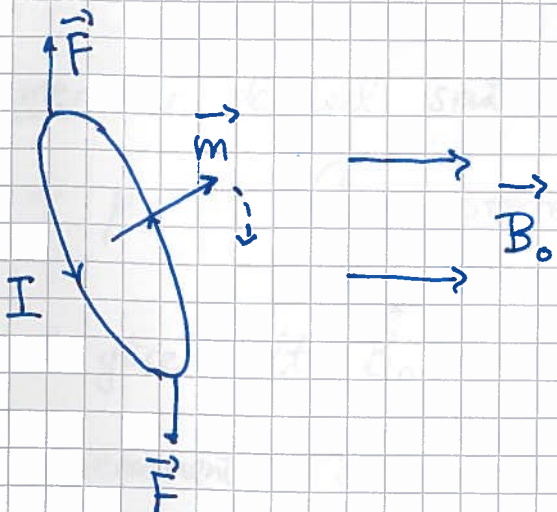
På samme vis som vi utledet  $U = -\vec{p} \cdot \vec{E}_o$  kan en vise at magn. dipol  $\vec{m}$  i ytre felt  $\vec{B}_o$  har potensiell energi

$$U = -\vec{m} \cdot \vec{B}_o = -m B_o \cos \theta$$



$$\Rightarrow \text{lavest } U \text{ når } \theta = 0 : \quad U_{\min} = -m B_o$$

$$\text{høyest } U \text{ når } \theta = \pi : \quad U_{\max} = +m B_o$$



$$\vec{\tau} = \vec{m} \times \vec{B}_o$$

$$U = -\vec{m} \cdot \vec{B}_o$$